

京都大学大学院 学生員 辻本哲郎
 兵庫県正員 藤井嘉彦
 京都大学工学部 正員 中川博次

1. まえがき 河床波の形状特性は河床波の形成された移動床水路の抵抗、流砂量を知る上で必須のものであり、従来から多くの研究がなされてきたが、いずれも平衡状態を対象としている。ところが、河床形状が水理量に応じて変化するには相当の時間を必要とし、実際河川で見られる現象の多くは非平衡状態のものと思われ、この意味から水理条件の変化に対する河床形状の応答特性を調べることは重要であると考えられる。本研究はその第一歩として、流量の変化に対する河床形状の変化特性を調べ、とくに現象の際立った流量急減後の河床波の崩壊過程について考察したものが本論文である。なお、本論文では対象を lower regime の河床波に限り、その崩壊特性を dunes 固有の分布性状と関連させて論じた。

2. 流量変化に対する河床形状の応答特性に関する実験的考察

実験水路で流量を三段階(I→II→I)に変化させ、河床形状の変化特性を超音波測定器(自走式)を用いて調べた。実験砂は中央粒径が0.065 cmのぼばね砂である。なお、各段階とも冲積の実験結果¹⁾を参考に充分な時間通水し、各段階を Run 1, 2, 3 と呼ぶことにする。実験の結果明らかになつた事柄を次に列挙する(図-1, 2, 3 参照)。(1) Run 1 の発達性状はこれまでに行なつた実験結果¹⁾とほぼ同様で、波形勾配、分布性状の時間的な相似性が認められた。Run 2 においても Run 1 の性状にあまり影響されず、発達成長する。(2) 各 Run における波長と実測流砂量との間には Exner の関係式が成立し、しかも個々の波について成立していることが認められた(各波の受け持つ流砂量が一定である)。(3) Run 1, 2 では、個々の波の波長・波高の間には強い相関が認められ、各波の波形勾配を一定として扱える。(4) Run 3 の初期では実測流砂量は激減する。(5) Run 3 の初期では形状の分布の変動係数が一概の場合より大きくなり、時間の経過とともに固有の一値に近づく。(6) Run 3 での河床波形状の分散は最終的に Run 1 の値に収束する。これらの事実から、Run 3 の状態は、Run 2 の残存河床波が混在するため、その分布は比較的混亂したものであるが、時間が充分経つと、平坦河床から発達したものと同一の分布性状を示し、河床波の形状の変動係数は一つの普通的定数と言つことができる。

3. 河床波の崩壊過程のモデル化 次に、前報²⁾の河床波の成長過程のモデル化と同様に、河床波形状の固有の特性、とくにその分布性状に注目して崩壊過程のモデル化を行なう。これらはいわゆる、個々の波のレベルが成長または崩壊に寄与している現象に着目し、これに対する流砂の連続式をもとにしたモデルを用い、波の配列、または分布性状を加味して平均的変化特性を記述しようとするものである。

図-4 を参考に、崩壊に対する基礎事象を残存河床波の埋め戻しとすると、個々の波は次式にしたがって減衰する。

$$H_i = H_{i0} \{ 1 - 4 \frac{s_0}{s} t / s L_i H_{i0} (1 - s_0) \}, \quad H_i \leq H_{i0} \quad \dots \dots (1)$$

ここで、深さ i は Run 2 の最終状態での値、 s ：河床波の形状係数、 s_0 ：砂の空隙率である。

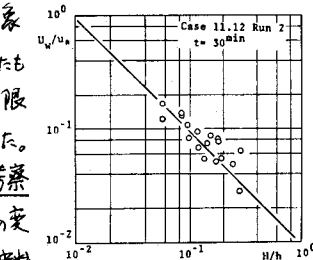


図-1 個々の波の波速と波高との関係

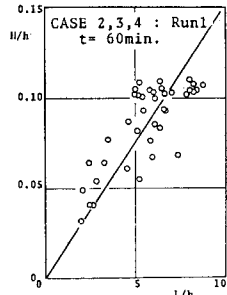


図-2 個々の波の波長と波高との相関

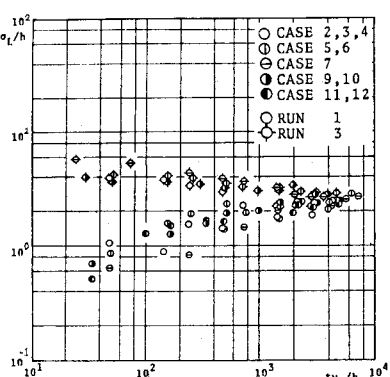


図-3 河床波長の標準偏差の時間的変化の Run 1 と Run 3 の比較

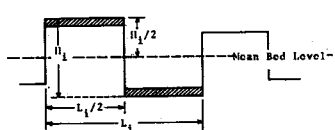


図-4 記号図

値は埋め深い用いられる流砂量と下流へ流送される量(「閉じた流砂量」と呼ぶ)である。上式にしたがて波高が減衰すると、残存河床波によく小さいものから順に消滅し、このため水路床には次に平坦部が増し平均波高も減少し、波長は増加する。残存河床波の時刻t(流量急減直後をt=0とする)での波長は、 $L_2(t)/L_e = \{1 - I_1(\lambda_c(t))\}/\{1 - F(\lambda_c(t))\}$ ……(2) ここで表すと(「閉じた流砂量」が走る河床波の進行が遅く、残存河床波の個々の波の波長は不变)、その個数N_1(t)の最初の個数N_0に対する比は $1 - F(\lambda_c(t))$ である。ここで $\lambda_c(t)$ は時刻tに消滅する河床波の大きさから得られる無次元量で $\lambda_c^2(t) = 4q_B t/s L e H(t - S_0)$ 、またf_LをRun2における標準化された波高分布の密度関数とすると、 $F(\lambda) = \int_0^\lambda f_L(\lambda') d\lambda'$ 、 $I_1(\lambda) = \int_\lambda^\infty f_L(\lambda') d\lambda'$ である。一方Run3の状態に対して固有の河床波が形成される場合は、残存河床波の消滅した平坦化部分に発生すると、その平均波長を $1/\lambda$ とし、その発達過程を観察すると(この波の発達過程では、この個数の残存河床波個数に対する比は小さく、平衡状態の値を用いても誤差は小さいものと見えた)、新たに形成される波の個数M(t)は、 $M(t)/N_0 = \nu L e I_1(\lambda_c(t))$ ……(3)となる。結局、時刻tでの平均波長はこうして考慮より次式で与えられる。

$L(t)/L_e = 1/\{\{1 - F(\lambda_c(t))\} + \nu L e I_1(\lambda_c(t))\}$ ……(4) なお、Run3の状態が限界流速に近い場合は、この状態に河岸の新しい河床波が形成されず $=0$ となる。さらに、「閉じた流砂量」は C_{fb} (S_0 はRun3の平均流砂量)とし、これは液状路床上の砂の運動特性から決まるべきものであるが、ここでは実験定数として扱い運動特徴にもとづいて取り扱いよ今後の課題とする。なお、残存河床波の消滅に伴ないながら一定でも「閉じた流砂量」は増加し、Run3の初期に激減した実測流砂量の回復がこれにかられる。

4. モデルの実験結果による検証 まず、モデルにおいて仮定された事項は着者らのこれまでの実験結果¹⁾および2)その妥当性が示すかである。すなはち得られた河床記録から、個々の波にかけ解析し、式(1)を検証したもののが図-5である。

個々の波の特性に含まれる統計的性質、測定誤差を考慮すると概ねその妥当性が認められる。図-6(a), (b)は残存河床波の消滅過程を示しており、Type Iは $\nu=0$ 、Type IIは $\nu \neq 0$ で、それぞれ $C=1$ 、 $C=0.18$ とした。また、波長の分布については、Gamma、Rayleigh分布を採用して計算した。また図-7は新たに発生した波の個数を示したもので、初期には発生間もない短かい波のため、その個数は理論値より大きいものの(および満足される)間隔と言える(新たに発生した波に成長過程を考慮するとモデルはより理屈的になる)。

最後に、Run3における波長の時間的変化を図-8に示した。これらの結果、3.で考察したモデルが河床波の崩壊過程における特徴的な性状を説明し得ることがわかった。■ 実験条件 Run 1, 3 0.06~0.085 (Type I) 0.10~0.15 (II)
(Case 7) Run 2 0.11~0.14 (Type I) 0.15~0.24 (II)

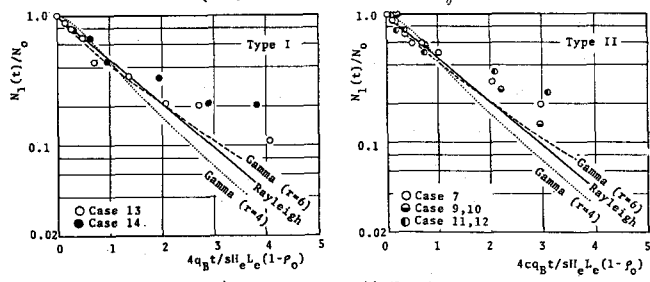


図-6 残存河床波の消滅状況

5. あとがき 本報告では、河床波の崩壊過程が河床波の固有の形状特性(多くに分布性)に強く影響を受けることに注目し、簡単なモデルを用いて考察・検討を行なった。河床波の発達・崩壊などの変形過程に対しては、このように個々の波についての運動特性に注目してモデル化し、分布性を考慮して平均特性を知るといった手法が有用であることを示した。今後、砂の運動特性と結びつける(これが決定)研究を進めようである。なお、実験の遂行、資料整理に当たっては京大研究生矢田篤君の協力を得た。
<参考文献> 1) 中川土平: 京大研究年報, 1976. 2) 日本一中川: 土木学会誌31年講, 1976.

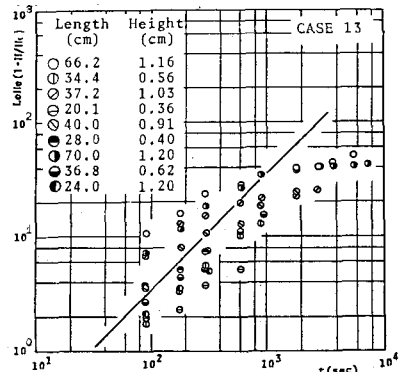


図-5 残存河床波の個々の波の消滅

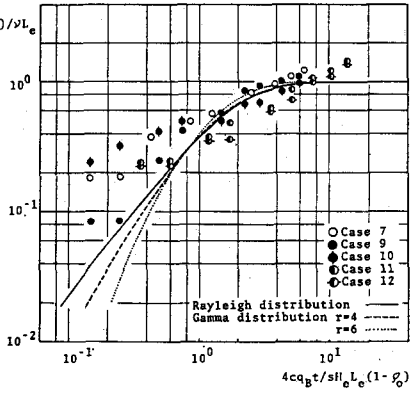


図-7 新しく形成される河床波の発生状況

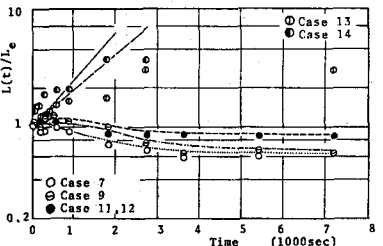


図-8 Run3での河床波長の時間的変化